[付録:J] 伝達誤差解析例

J.1 実験装置

黒河,有浦の研究「歯車の負荷時高精度かみ合い誤差測定に関する研究」(1)の成果と CT-FEM Opera の解析結果を比較した.

実験装置は、図 J.1 に示す動力循環式歯車運転試験機であり、 伝達誤差計測用のエンコーダは分解能 1 秒を有している。

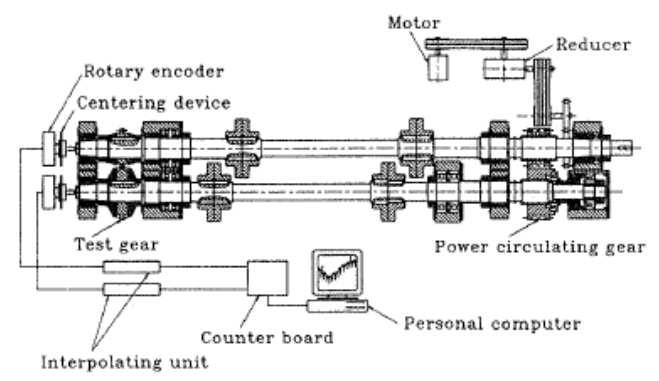


図 J.1 実験装置

J.2 実験結果と伝達誤差解析結果の比較

実験に供した歯車は図 J.2 の諸元を持つ歯車であり歯車精度は, JIS B 1702(1998) 0 級の歯研削歯車である. 伝達誤差は, 単位歯幅当たりの荷重を 8~784 (N/mm)として 7 種類の負荷を与え, そのときの伝達誤差を計測している. 図 J.3 は 147(N/mm)の例を示している.



図 J.2 歯車諸元

図 J.3 トルク設定

CT-FEM Opera ソフトウェアで解析する際,図 J.1 の試料歯車を支持する軸受間距離が 240mm あることから負荷が作用する際,軸変位が発生することを想定し解析した.トルクと軸変位,そして伝達誤差の実験値と解析結果を表 J.1 および図 J.4 に示す.

図 J.4 の荷重 200(N/mm)より大きい領域では歯実験と解析は良く一致している. しかし, これより小さい領域では実験と解析結

表 J.1 伝達誤差解析結果

No.	単位荷重(N/mm)	トルク(Nm)	実験値(sec)	軸変位(sec)	解析結果(sec)
<1>	8	18.7	4.0	7.42	0.76
<2>	98	229.5	4.7	8.06	5.94
<3>	147	344	5.6	12.1	6.62
<4>	196	459	7.9	16.1	7.13
<5>	392	918	8.8	32.1	9.11
<6>	637	1492	11.2	52.2	11.7
<7>	784	1836	13.0	64.1	13.2

果は一致していない. この理由は,実験の負荷が 8(N/mm)において TE=4(sec) である理由は,歯形誤差や歯面粗さが表れていると考えられる.

図 J.5 に実験結果と解析結果の伝達誤差を重ね合わせた図を示すが、両者は良く一致した結果となっている. 図中に示す赤色の縦線は、実験の目盛 20sec に合わせている.

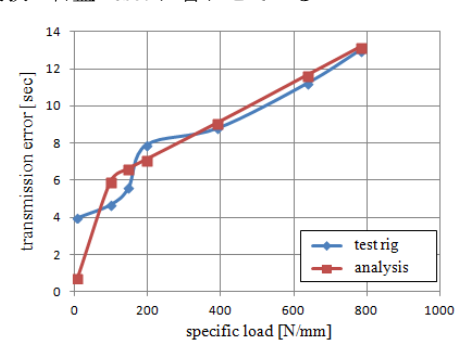


図 J.4 伝達誤差最大値(実験と解析)

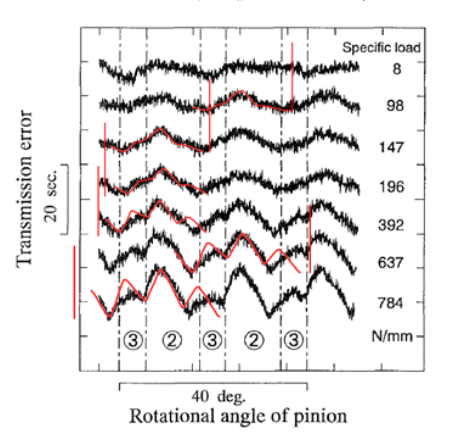


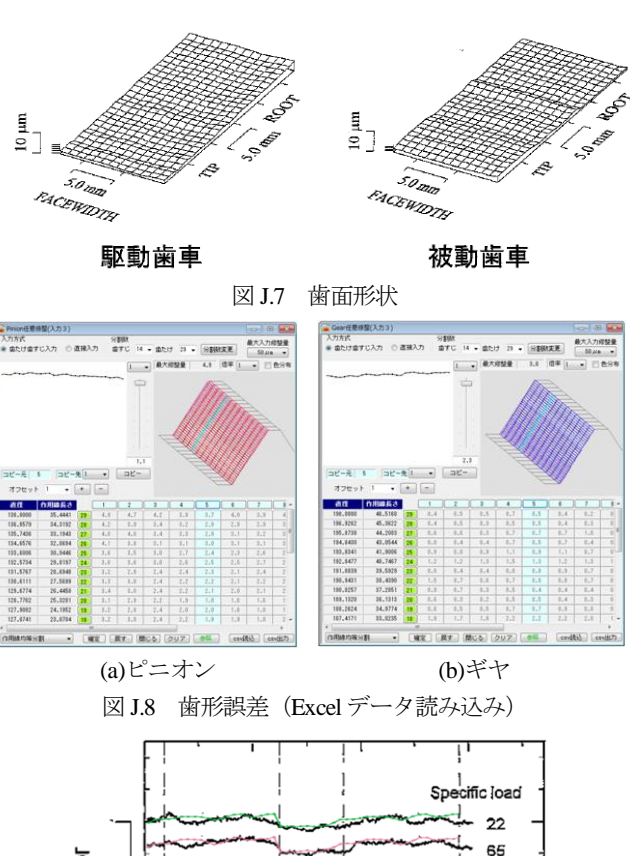
Fig.9 Transmission errors under several loads 図 J.5 伝達誤差(実験と解析)

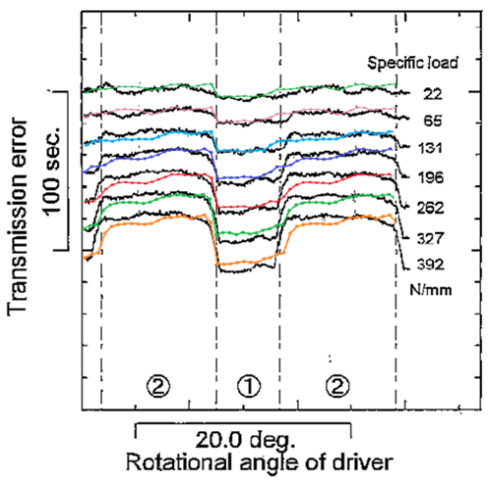
J.3 歯面形状と歯面粗さを考慮した伝達誤差 J.3.1 平歯車 (無修整)

実験に供した歯車諸元を図 J.6 に歯面形状を図 J.7 に示す. 伝達 誤差は、単位歯幅当たりの荷重を 22~392 (N/mm)として 7 種類の 負荷を与えている. 伝達誤差解析をする際は、歯面形状を図 J.8 のように与えた. 実験と解析による伝達誤差結果を図 J.9 に示すが、両者は良く一致している.



図 J.6 歯車諸元

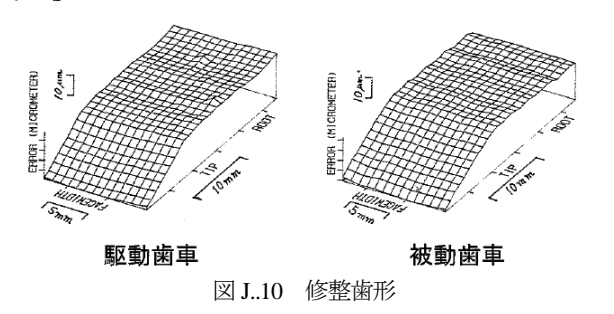




J. 3. 2 平歯車 (歯先修整)

歯車諸元は、図 J.6 と同じであり、伝達誤差は、単位歯幅当たりの荷重を 22~654 (N/mm)として 11 種類の負荷を与えている。 伝達誤差解析をする際は、歯面形状を図 J.10 のように与えた。実験と解析による伝達誤差結果を図 J.12 に示すが、両者は良く一致している。

図 J.9 伝達誤差 (実験と解析)



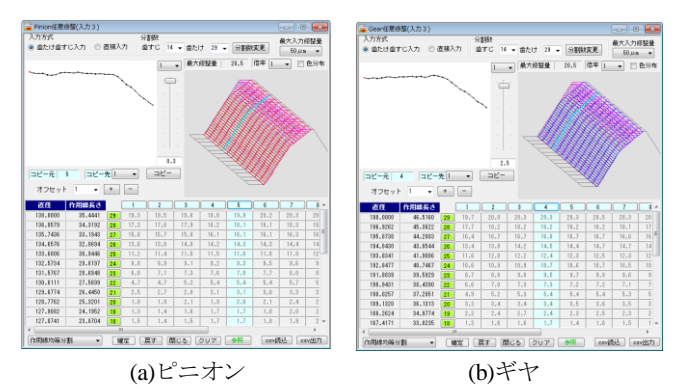


図 J.11 歯形誤差 (Excel データ読み込み)

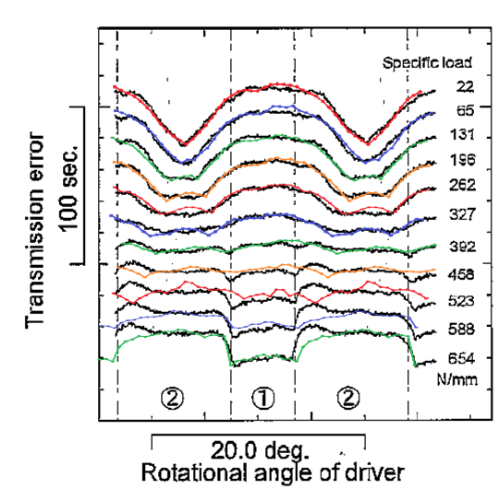


図 J.12 伝達誤差(実験と解析)

J.3.3 はすば歯車 (無修整)

歯車諸元は、図 J.2 と同じであり、伝達誤差は、単位歯幅当たりの荷重を 8~650 (N/mm)として 16 種類の負荷を与えている。伝達誤差解析時の歯面形状を図 J.14 のように与えた。実験と解析による伝達誤差結果を図 J.15 に示すが、両者は良く一致している。また、図 J.16 に拡大波形を示すが、実験と解析結果は良く一致し

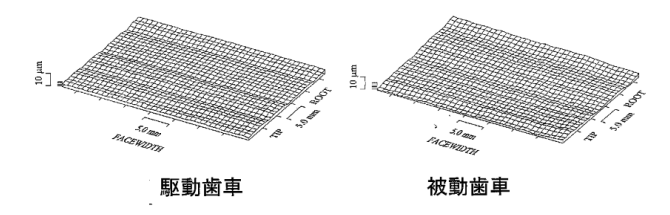


図 J.13 歯面形状

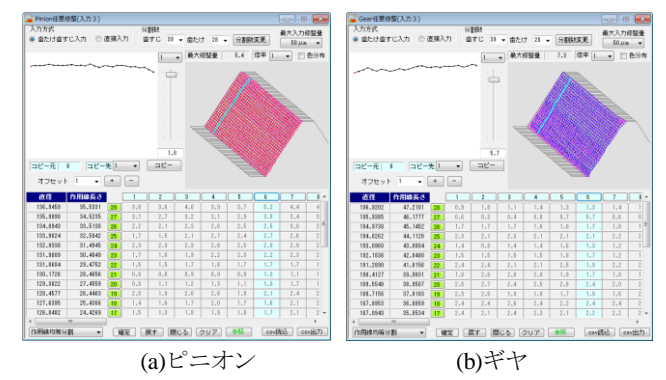
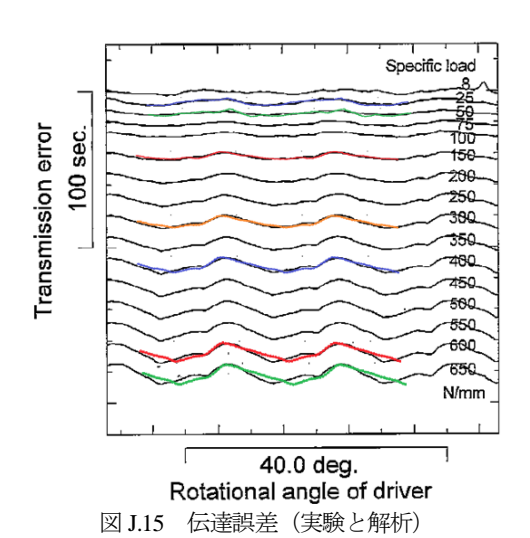


図 J.14 歯形誤差 (Excel データ読み込み)



ている. ただし、負荷による影響を考慮し表 J.2 のように食い違 い誤差を与えている.

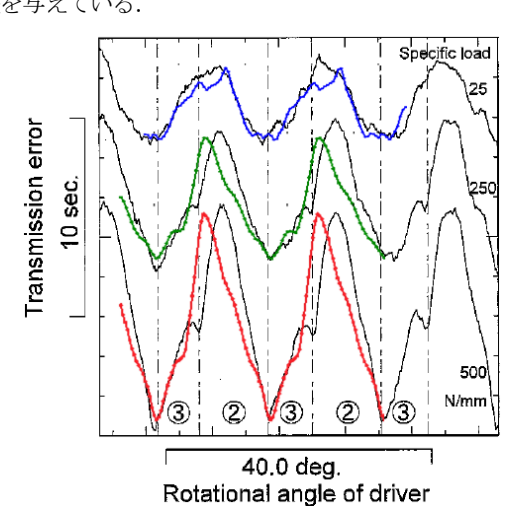


図 J.16 伝達誤差(実験と解析)

表 J.2 伝達誤差解析結果

	TE _{max}		食い違い
N/mm	実験値(s)	解析(s)	φ ₁ (deg)
25	3.92	3.31	0.001
250	7.06	6.23	0.003
500	10.7	10.4	0.005

J.4 まとめ

- (1) 伝達誤差の実験と解析結果は、良く一致した.
- (2) ソフトウェア解析により、ほぼ確かな伝達誤差を予測するこ とができた.

参考文献

- (1) 黒河, 有浦, 歯車の負荷時高精度かみ合い誤差測定に関する 研究,機論 C,1998-7, pp.408-415
- (2) CT-FEM Opera, 歯車応力解析ソフトウェア, アムテック, カタログ(vol.18), [45] CT-FEM Operaiii をご覧ください. (2014)

[付録:K] 動力損失解析例

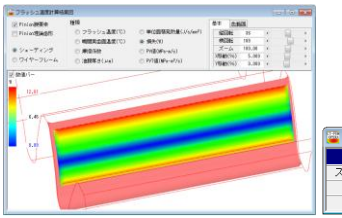
K.1 概要

歯車の基礎と設計(成瀬著)(1)に掲載されている平歯車のかみ 合い損失率と平均滑り速度との関係の実験を基に、CT-FEM Opera⁽²⁾で解析した. その結果を以下に示す.



図 K.1 歯車諸元

図 K.2 設定



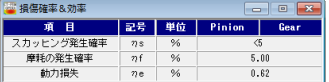


図 K.3 動力損失

図 K.4 損傷確率,動力損失

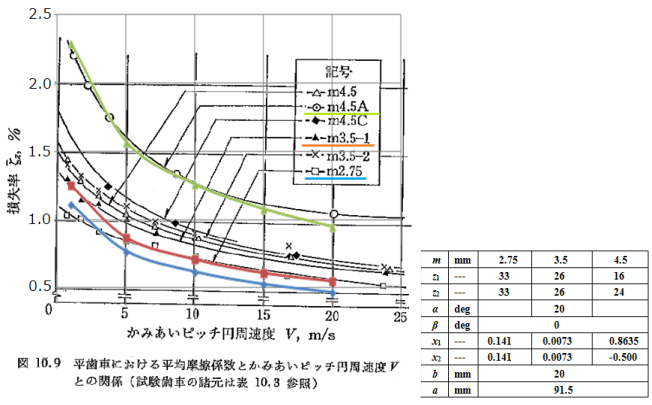


図 K.6 実験と解析

K.2 まとめ

- (1) 図 K.6 のように実験結果と解析結果は良く一致している.
- (2) ソフトウェア解析により、ほぼ確かな動力損失を予測するこ とができた.

参考文献

- (1) 成瀬,「歯車の基礎と設計」,養賢堂, 2001. P.132-133
- (2) CT-FEM Opera, 歯車応力解析ソフトウェア, アムテック, (2014)